

## ارزیابی مخاطره بیوکلیمایی رخدادهای موج گرم در شهر تهران

دریافت مقاله: ۹۸/۱۰/۲۶ پذیرش نهایی: ۹۹/۵/۱۷

صفحات: ۴۶۵-۴۷۸

شهرام امامقلی: دکتری آب و هواشناسی شهری، واحد نور، دانشگاه آزاد اسلامی، نور، ایران.

Email: shahram.emam@yahoo.com

غلامرضا جانبازقبادی: استادیار و عضو هیأت علمی، واحد نور، دانشگاه آزاد اسلامی، نور، ایران.

Email: gghobadi@yahoo.com

پرویز رضایی: دانشیار اقلیم شناسی و عضو هیئت علمی گروه جغرافیا، واحد رشت، دانشگاه آزاد اسلامی، رشت، ایران.

Email: rezaei@iaurasht.ac.ir

صدرالدین متولی: دانشیار گروه ژئومورفولوژی، واحد نور، دانشگاه آزاد اسلامی، نور، ایران.

Email: s\_motevali@iaounour.ac.ir

### چکیده

هدف این تحقیق تحلیل فضایی آسیب‌پذیری کلانشهر تهران در برابر رخداد امواج گرم است. داده‌های مورد استفاده تحقیق شامل داده‌های روزانه دمای بیشینه ۵ ایستگاه سینوپتیک شهر تهران (ژئوفیزیک، مهرآباد، دوشان تپه، چیتگر، شمال تهران) طی دوره آماری ۱۹۸۷-۲۰۱۸ است. برای شناسایی و استخراج امواج گرم از روش صدک‌ها (صدک ۹۵) و تداوم بیش از دو روز متوالی استفاده گردید. روند سری زمانی رخدادهای سالانه امواج گرم در کلان شهر تهران با استفاده از دو آزمون ناپارامتریک تحلیل روند بررسی شد و یک موج گرم تبیین برای تحلیل توزیع فضایی تنش‌های حرارتی در سطح کلان شهر تهران انتخاب گردید. توزیع دمایی موج گرم انتخاب شده در روز پیک فعالیت موج، با استفاده از تصاویر حرارتی، سنجنده TIRS لندست ۸ و الگوریتم دمای درخشش، به دست آمد و در نهایت تحلیل مخاطره بیوکلیمایی تنش گرمایی موج گرم در ارتباط با جمعیت بلوک‌های آماری کلان شهر تهران با استفاده از تحلیل ماتریس متقاطع بررسی گردید. نتایج نشان داد در همه ایستگاه‌های مورد بررسی طی دوره آماری ۳۲ ساله، رخداد سالانه امواج گرم روند افزایشی داشته است. بررسی توزیع فضایی دما در هنگام حاکمیت موج گرم ۳۰ تیر تا ۶ مرداد سال ۱۳۹۲، نشان داد که دمای کلان شهر تهران در سطح زمین در حین رخداد موج گرم با توجه به نوع کاربری از ۴۰ تا ۴۷ درجه متفاوت است. تحلیل لکه‌های داغ بیانگر آن بود که تنش حرارتی ناشی از موج گرم حاکم، مناطق ۶، ۷، ۸، ۱۱، ۱۰، ۱۲، ۱۴، ۱۵، ۴، ۷ و ۱۹ شهر تهران را به صورت معنی‌داری درگیر کرده است. میانگین دمایی این هسته داغ حرارتی به‌طور متوسط در طی دو موج گرم، به بیش از ۴۴ درجه سانتی‌گراد رسیده است. به‌طور کلی ۲۹۵۴۴۸۵ نفر از جمعیت شهر تهران که برابر ۳۵ درصد از جمعیت شهر تهران قرار گرفته است، تراکم مسکونی زیاد در این مناطق شهر، عدم گردش هوای مناسب، ترافیک شهری، کمبود و توزیع نامناسب فضای سبز شهری در این مناطق، از مهمترین عوامل تشدید کننده تنش حرارتی موج گرم در این مناطق هستند.

کلید واژگان: آمار فضایی، امواج گرم، رخدادهای حدی، شهر تهران، لکه‌های داغ.

## مقدمه

تغییر اقلیم یا به عبارت دقیق‌تر گرمایش جهانی امروزه مهم‌ترین چالش محیطی است که در مقابل جوامع بشری قرار گرفته است (هیئت بین دولتی تغییر اقلیم<sup>۱</sup>، ۲۰۱۴). اثرات گسترده این تغییرات آب و هوایی، در همه ابعاد حیات بشری قابل مشاهده است. دما نیز به عنوان یکی از مهم‌ترین و حیاتی‌ترین عناصر اقلیمی به شدت از تغییرات آب و هوایی متأثر می‌شود. دما از مهم‌ترین عناصر مؤلفه جوی دستگاه آب و هوا بوده و در تعیین نقش و پراکندگی دیگر عناصر آب و هوا نیز مؤثر است (قویدل و رضایی، ۱۳۹۴). افزایش رخدادهای حدی دما که شامل امواج گرم زمستانه و تابستانه و نیز امواج سرد زمستانه و تابستانه، سرماهای دیررس بهاره، امواج گرمایی زودرس بهاره، رکوردهای دمایی فصل گرم، تغییرات فضایی نواحی دمایی، جابه‌جایی فصلی دما، از تظاهرات اصلی تغییرات آب و هوایی در زمینه دما می‌باشد (هیئت بین دولتی تغییر اقلیم، ۲۰۱۴). از امواج گرم تعریف روشنی ارائه نشده است، باروس<sup>۲</sup> در اواخر قرن ۱۹ موج گرم را دوره ای دانست که دمای هوا در این دوره بیش از ۳۲/۳ درجه سانتی‌گراد (۹۰ درجه فارنهایت) باشد و حداقل سه روز این شرایط ادامه داشته باشد. امواج گرم که یکی از رخدادهای فرین مهم دمایی است، در کشور ما به یکی از نمایه‌های اصلی گرمایش جهانی (در کنار نمایه اصلی یعنی خشکسالی) تبدیل شده است. به گونه‌ای که در دو دهه اخیر (از سال ۲۰۰۰ به بعد)، رکوردهای دمایی بیشینه در بسیاری از نواحی کشور از جمله خوزستان (دمای بالای ۶۰ درجه در تیر ماه)، قصر شیرین، نواحی مرکزی ایران و ... از سال ۱۹۵۰ به بعد ثبت شده است (حدادی، ۱۳۸۸). امواج گرم که از دو دهه قبل به یکی از مهم‌ترین و جدی‌ترین مخاطرات اقلیمی به‌ویژه در اقلیم شهری بدل شده است، تأثیرات وسیع این مخاطره جوی در مرگ و میرهای ناشی از تنش‌های گرمایی و گرمزدگی، عود و تشدید برخی علایم بیماران قلبی و عروقی، سکنه‌ها، از دست رفت آب بدن، همگی از مظاهر این مخاطره اقلیم شهری هستند که نظر به میزان چشمگیر تلفات جانی ناشی از موج گرم و گرمزدگی به‌عنوان یکی از مخاطرات نوظهور در اقلیم شهری (نسبت به سیل و خشکسالی و طوفان) در نواحی مختلف جهان این پدیده مورد بررسی قرار گرفته است. با توجه به اینکه این شاخص حدی بسیاری از پدیده‌های محیطی را تحت تأثیر خود قرار می‌دهد، در سطح جهان مطالعات زیادی در زمینه شناسایی و اثرات موج گرما به‌ویژه بر روی سلامت انسان، صورت گرفته است (GiYang Sen (2010) Populita et al (2011) Rojer et al (2006) Diaz et al (2011) Pascal. (2012) از جمله کسانی بودن که در این زمینه تحقیقاتی انجام دادند و به این نتیجه رسیدند که رابطه مستقیمی بین موج گرمایی و مرگ‌ومیر وجود دارد. آسترا و باندلا<sup>۳</sup> (۲۰۱۷)، رخدادهای مرگ و میر مرتبط با دماهای فرین حدی گرم را در شهرهای بیابانی اسنوران<sup>۴</sup> طی دوره آماری ۲۰۱۴-۱۹۵۰ مورد بررسی قرار دادند. نتایج نشان داد که فرکانس رخداد امواج گرم از سال ۱۹۹۰ به‌صورت معنی‌داری افزایش یافته است. این افزایش مرگ و میرهای مرتبط با گرمزدگی و بیماری‌های مرتبط با گرما در مورد ایالت‌هایی که تراکم جمعیتی بیشتری دارند

۱ Intergovernmental Panel on Climate Change(IPCC)

۲ Barus

۳ Astera & Bandella

۴ Snoran

و دریافت‌های شهری بوده‌اند، بالاتر بود. در کنار مرگ و میرهای مرتبط با امواج گرم، تعداد مراجعین به بیمارستان‌ها در رخدادهای گرم تابستانه، نیز یکی از شاخص‌های خسارت زایی موج گرم است که مورد بررسی پژوهشگران قرار گرفته است به‌طوری که مادرینگان<sup>۱</sup> و همکاران (۲۰۱۵)، اقدام به بررسی تعداد مرگ و میرهای کلان شهر نیویورک حالت‌های بحرانی موج گرم طی دوره آماری ۲۰۰۰-۲۰۱۱ کردند. ایشان نشان دادند که در روزهایی که موج گرم و ابرگرم حاکم بوده است تعداد مرگ و میرهای ثبت شده بیمارستان مرکزی نیویورک، حدود ۱۵ تا ۱۹ درصد بالاتر از روزهای عادی بوده است. ایشان مشاهده کردند که در شهر نیویورک، میزان مرگ و میر سیاه پوستان در رخدادهای حدی گرم از سایر نژادها بالاتر بوده است.

ازهر<sup>۲</sup> و همکاران (۲۰۱۷) اقدام به تولید نقشه ریسک شاخص گرمزدگی در هند نمودند. ایشان با به کارگیری داده‌های مربوط به توزیع جمعیت در مناطق شهری ۶۴۰ منطقه جمعیتی هند، اقدام به توسعه یک شاخص آسیب‌پذیری گرمایی در هند نمودند که مبتنی بر داده‌های جمعیتی اخذ شده از سرشماری اخیر هند، تصاویر ماهواره‌ای، ویژگی‌های بافت مسکونی شهرهای مورد بررسی بود. نتایج تحقیق ایشان که در واقع شامل نقشه ریسک گرمزدگی در کشور هند بود بیانگر آن بود که مراکز شهری و سکونتی که در بخش‌های مرکزی کشور هند قرار گرفته‌اند نسبت به نواحی حاشیه‌ای در معرض ریسک‌های بالاتری از گرمزدگی قرار دارند. در ایران نیز در زمینه شناسایی و عوامل ایجاد امواج گرمایی پژوهش‌های زیادی انجام گرفته است، از جمله این پژوهش‌ها می‌توان به مطالعه رحیمی (۱۳۹۴) اقدام به بررسی و تحلیل امواج گرم رخداده در سال ۱۳۸۹ در استان خوزستان کرد. ایشان برای تحلیل سینوپتیک گرم‌ترین‌ها از میان ۵ موج که یک موج فوق گرم ۴ روزه به وقوع پیوسته از روز ۱۴ تا ۱۷ تیرماه بود، برای مطالعه انتخاب گردید. نتایج تحلیل سینوپتیک موج فوق گرم یاد شده نشان داد که استقرار یک کم فشار در سطح زمین و استیلای پرفشار در سطوح میانی تا ۵۰۰ هکتوپاسکال و هم چنین افزایش شدید ضخامت جو بر روی استان خوزستان که موجب فرونشینی هوای گرم و گرمایش بیش از حد سطح زمین می‌شود، عوامل دینامیک- سینوپتیک وقوع روزهای فوق گرم هستند. پژوهش کریمی فیروزجایی و کیاورز (۱۳۹۶) نقش پهنه‌های ساخت شهری را در تشکیل و تشدید جزایر حرارتی نشان داد، به گونه‌ای که در تفاوت دمایی محیط‌های شهری با محیط‌های غیر شهری، ۳ تا ۴ درجه سانتی‌گراد بوده است. مجرد و همکاران (۱۳۹۴) به تحلیل آماری همدیدی امواج گرمایی بالای ۴۰ درجه سلسیوس در غرب ایران پرداختند. ایشان با تحلیل شرایط سینوپتیکی رخدادهای امواج گرم در غرب کشور دو الگوی عمده و اصلی همدید مولد این رخدادهای استخراج کردند. ایشان نتیجه گرفتند که پراارتفاع آزر و پرفشار عربستان دو الگوی سینوپتیکی عمده مولد امواج گرمایی در منطقه بوده و زمان آغاز آن از مرداد است. باوجود اهمیت روزافزون گرمایش جهانی و فراوانی رخداد امواج گرم به ویژه در فصل گرم و افزایش خسارات مالی و جانی آن، مطالعه جامعی در مورد میزان آسیب‌پذیری بالقوه نواحی شهری درمقابل رخداد موج گرم به مثابه یکی از فرایندهای حدی اقلیم، صورت نگرفته است. هدف اساسی پژوهش حاضر بررسی میزان آسیب‌پذیری شهر تهران، در برابر امواج گرم به منزله یکی از مخاطرات نوظهور اقلیمی است.

۱ Madrigan

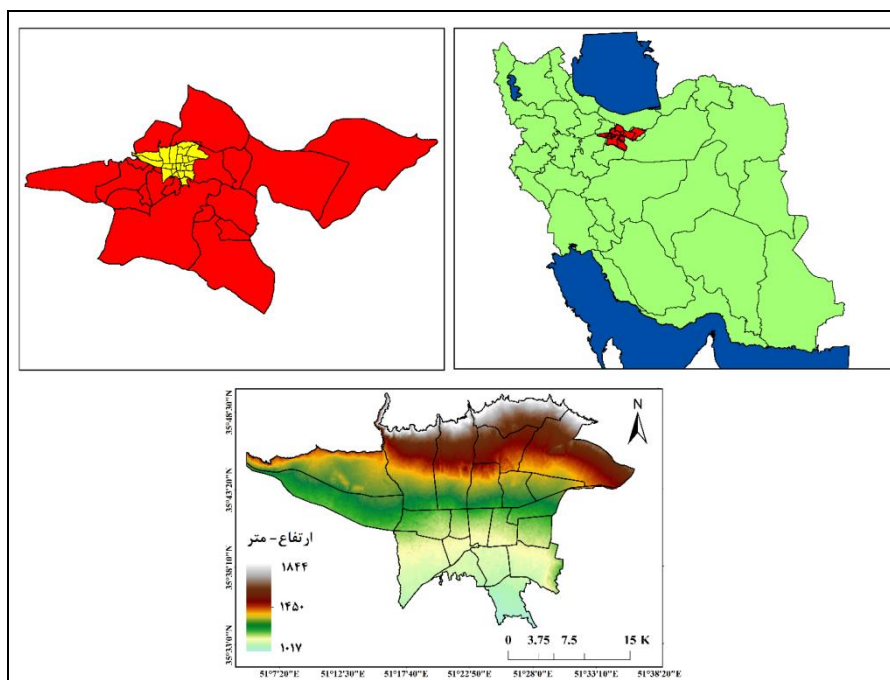
۲ Azhar

## روش تحقیق

## معرفی منطقه مورد مطالعه

شهر تهران در حد فاصل طول جغرافیایی ۵۱ درجه و ۲ دقیقه شرقی تا ۵۱ درجه و ۳۶ دقیقه شرقی، به طول تقریبی ۵۰ کیلومتر و عرض جغرافیایی ۳۵ درجه و ۳۴ دقیقه شمالی تا ۳۵ درجه و ۵۰ دقیقه شمالی به عرض تقریبی ۳۰ کیلومتر گسترده شده است. ارتفاع آن از سطح آبهای آزاد بین ۱۸۰۰ متر در شمال تا ۱۲۰۰ متر در مرکز و ۱۰۵۰ متر در جنوب متغیر است. تهران در بین دو وادی کوه و کویر و در دامنه‌های جنوبی رشته کوه البرز گسترده شده است و از جنوب به کوه‌های ری و بیبی شهربانو و دشت‌های هموار شهربار و ورامین و از شمال توسط کوهستان محصور شده است. در نتیجه در جنوب و شمال دارای آب و هوایی متفاوت است. نواحی شمالی از آب و هوای سرد و خشک و نواحی جنوبی از آب و هوای گرم و خشک برخوردار می‌باشند (تاریخچه تهران، موسسه جغرافیایی و کارتوگرافی گیتاشناسی، ۱۳۸۷). شکل (۱).

شکل (۱).



شکل (۱). موقعیت منطقه مورد مطالعه

## داده و روش کار

در این تحقیق به طور کلی از سه دسته از داده‌ها استفاده شده است. دسته اول داده‌های هواشناسی ایستگاهی که از ۵ ایستگاه سینوپتیک شهر تهران شامل چیتگر، مهرآباد، ژئوفیزیک، دوشان تپه و شمال تهران، برای دوره آماری ۳۲ ساله ۱۹۸۷-۲۰۱۸ به صورت روزانه، برای عنصر دمای بیشینه استفاده شد. دسته دوم داده‌ها، تصاویر حرارتی سنجنده TIRS لندست ۸ بود که برای بررسی وضعیت توزیع فضایی دمای سطح زمین

در سطح کلان شهر تهران در روز حاکمیت موج گرم استفاده شد. دسته سوم از داده ها، مربوط به بلوک های آماری سرشماری شده شهر تهران بود که برای سال ۱۳۹۵، از درگاه ملی مرکز آمار ایران اخذ شد. جدول (۱).

جدول (۱). داده های مورد استفاده در تحقیق

داده	منبع اخذ	دوره آماری	دقت زمانی-مکانی
داده های هواشناسی	ایستگاه های سینوپتیک سطح شهر تهران	۲۰۱۸-۱۹۸۷	دیدبانی های روزانه
داده های دمای سطح زمین	۱-محصول MOD11A2 سنجنده MODIS ۲-تصاویر ماهواره ای لندست	روزهای موج گرم نمونه موردی	۱ کیلومتر- ۱ روزه برای داده های مادیس ۳۰متر برای تصاویر لندست
بلوک های جمعیتی شهر تهران	درگاه ملی آمار ایران و مرکز فناوری اطلاعات و ارتباطات شهرداری تهران	دو سرشماری ۱۳۹۰-۱۳۹۵	دو دوره آماری به تفکیک بلوک آماری شهر تهران

### آشکارسازی و استخراج امواج گرم

برای تفکیک و آشکارسازی امواج گرم، با استفاده از داده های روزانه دمای بیشینه ۵ ایستگاه سینوپتیک شهر تهران ایستگاه های مهرآباد، چیتگر، ژئوفیزیک، شمال تهران و دوشان تپه، از دو شاخص استفاده شد. شاخص اول که در واقع مبتنی بر انحراف نرمال شده دمای بیشینه هر روز، نسبت به میانگین دمای بیشینه همان روز در طی کل دوره ۳۳ ساله یعنی ۲۰۱۸-۱۹۸۷ می باشد: رابطه (۱) شاخص انحراف نرمال شده دمای بیشینه روزانه را نشان می دهد.

رابطه (۱)

$$\Delta T_{max_{ijn}} = \Delta T_{max_{ijn}} - \overline{T_{max_{ij}}}$$

که در این شاخص  $i$ ،  $j$  و  $n$ ، به ترتیب شماره ایستگاه، شماره روز در سال و سال مورد نظر است. براساس این شاخص، اگر انحراف دمای بیشینه هر روز نسبت به میانگین بلندمدت دمای بیشینه روزانه بیش از ۲ واحد باشد، به معنی رخداد یک موج گرم در نظر گرفته میشود. اما فیلتر دوم، تداوم دمای بالا به مدت حداقل دو روز متوالی است. بنابراین بالاتر بودن اختلاف دمای روز مذکور از میانگین دمای بلندمدت همان روز و تداوم بیش از دو روز متوالی به عنوان شاخص موج گرم در نظر گرفته شد.

### تحلیل روند سری زمانی رخدادهای سالانه موج گرم

برای آشکارسازی روند سری زمانی از آزمون ناپارامتریک تخمینگر شیب Sens استفاده گردید که به صورت رابطه (۲) ارائه شده است (سن، ۱۹۶۶):

$$Q = \text{Median} \left( \frac{W_j - W_i}{j - i} \right), \quad \forall j > i$$

رابطه (۲) (تخمینگر شیب)

در رابطه (۲)  $Q$  برآوردگر شیب خط روند و  $w_i$  و  $w_j$  به ترتیب تعداد رخدادهای موج گرم در سال  $i$  ام و  $j$  ام می‌باشد. مقادیر مثبت (منفی)  $Q$  نشان دهنده روند افزایشی (کاهشی) در سری است (زمانی و همکاران، ۲۰۱۴).

### تحلیل تنش های حرارتی موج گرم در ارتباط با بلوک های جمعیتی شهر تهران

برای بررسی تنش های حرارتی هنگام حاکمیت موج گرم در سطح کلانشهر تهران، یک موج گرم انتخاب و توزیع فضایی دما در سطح شهر با استفاده از تصویر حرارتی سنجنده TIRS، بررسی شد. دمای سطح زمین با استفاده از الگوریتم دمای درخشش از روی تصاویر TIRS استخراج گردید. توزیع فضایی دما در سطح بلوک های جمعیتی شهر تهران، و جمعیت در معرض ریسک گرمزدگی، با استفاده از تحلیل ماتریس متقاطع در محیط GIS بررسی شد.

برای شناسایی بلوک های جمعیتی سطح شهر تهران که هنگام تسلط موج گرم، دمای هوای آن ها به صورت معنی داری (در سطح اطمینان  $0.05 = P\_value$ ) بالاتر از اطراف بوده است، از آماره فضایی لکه های داغ HOT-SPOT استفاده شد. چهارچوب مفهومی این تحلیل اینگونه عمل کند که عارضه های لکه داغ تلقی می‌شود که هم خود عارضه و هم عارضه های همسایه ی آن از نظر آماری به صورت معنی داری بالاتر از اطراف باشند. آماره Getis-Ord  $G_i^*$  به صورت رابطه (۳) محاسبه می‌گردد:

$$G_i^* = \frac{\sum_{j=1}^n w_{i,j} - x \sum_{j=1}^n w_{i,j}}{s \sqrt{\frac{[n \sum_{j=1}^n w_{i,j}^2 - (\sum_{j=1}^n w_{i,j})^2]}{n-1}}}$$

رابطه (۳). آماره (Getis-Ord  $G_i^*$ )

برای ارزیابی میزان آسیب پذیری جمعیت در معرض خطر دماها ی بحرانی حین موج گرم در شهر تهران، از داده های مربوط به بلوک های جمعیتی شهر تهران برای سرشمار های سال ۱۳۹۵ استفاده شد

### نتایج

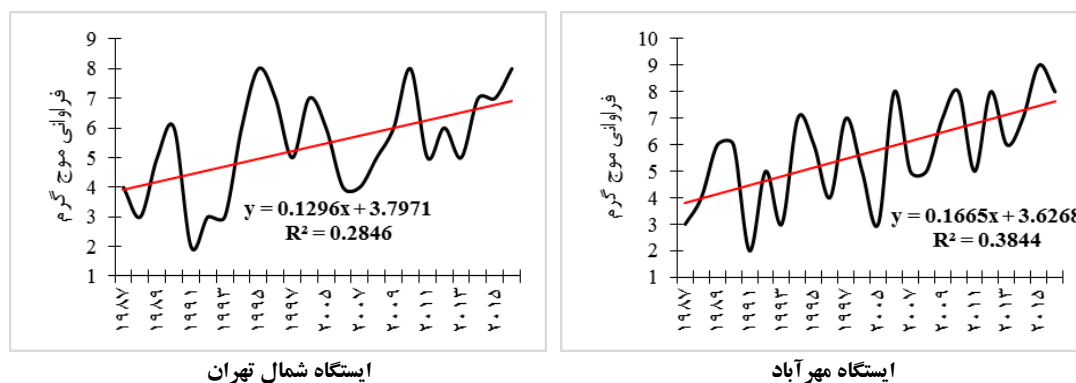
در جدول (۲) ویژگی های آماری رخدادهای سالانه امواج گرم، ارائه شده است. همان طور که در این جدول دیده میشود، رخدادهای موج گرم ایستگاه های مطالعاتی سطح شهر تهران گویای آن است که طی دوره مورد بررسی، در ایستگاه مهرآباد به طور متوسط ۶ موج گرم ثبت شده است، بالاترین تعداد موج های گرم، در این ایستگاه مربوط به سال ۲۰۱۵ می باشد که ۹ موج گرم در این سال ثبت شده است و کمترین تعداد امواج گرمایی نیز مربوط به سال ۱۹۹۱ بوده که در این سال ۲ موج گرم ثبت شده است. در ایستگاه شمال تهران به طور متوسط ۵ موج گرم ثبت شده است، بالاترین تعداد موج های گرم، در این ایستگاه مربوط به سال های ۲۰۱۰ و ۲۰۱۴ می باشد که ۸ موج گرم در این سال ها ثبت شده است و کمترین تعداد امواج گرمایی نیز مربوط به سال ۱۹۹۱ بوده که در این سال ۲ موج گرم ثبت شده است. در ایستگاه ژئوفیزیک به طور متوسط ۵ موج گرم ثبت شده است، بالاترین تعداد موج های گرم، در این ایستگاه مربوط به سال های ۲۰۱۰ و ۲۰۱۴ می باشد که ۸ موج گرم در این سال ثبت شده است و کمترین تعداد امواج گرمایی نیز مربوط به سال ۱۹۹۱ بوده که در

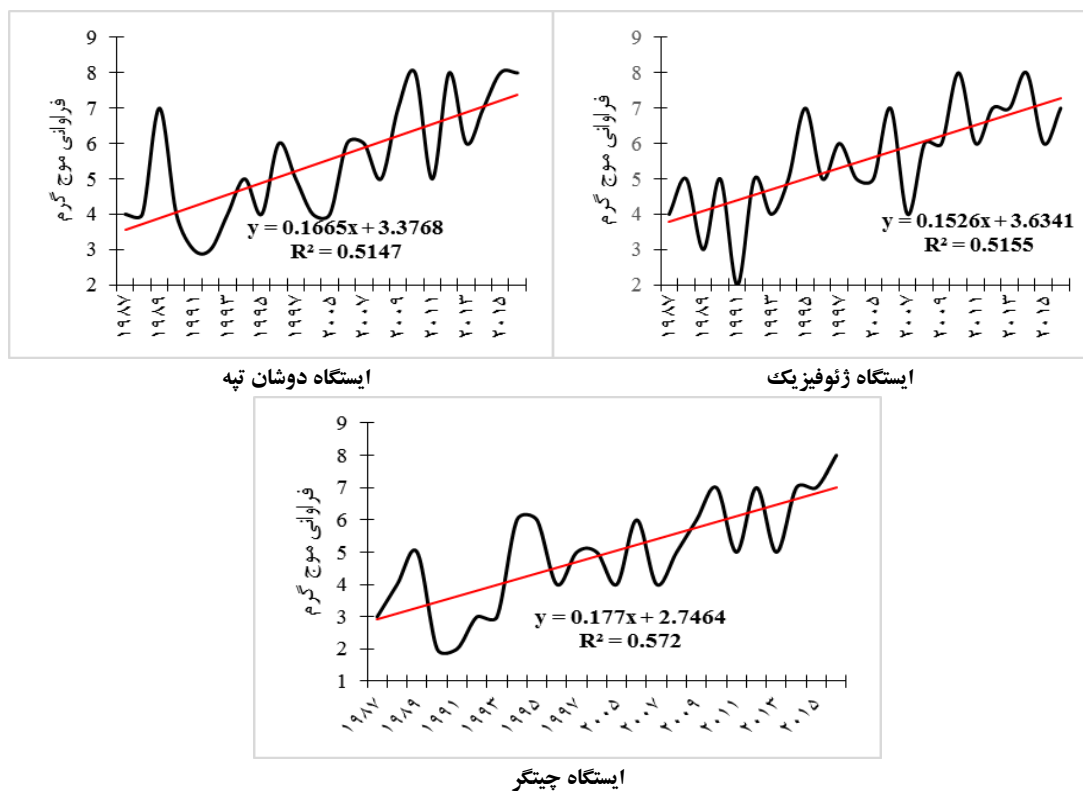
این سال ۲ موج گرم ثبت شده است. در ایستگاه دوشان تپه به طور متوسط ۵ موج گرم ثبت شده است، بالاترین تعداد موج‌های گرم، در این ایستگاه مربوط به سال‌های ۲۰۱۰، ۲۰۱۲، ۲۰۱۴ و ۲۰۱۵ می‌باشد که ۸ موج گرم در این سال ثبت شده است و کم‌ترین تعداد امواج گرمایی نیز مربوط به سال‌های ۱۹۹۱ و ۱۹۹۲ بوده که در این سال ۳ موج گرم ثبت شده است. در ایستگاه چیتگر به طور متوسط ۵ موج گرم ثبت شده است، بالاترین تعداد موج‌های گرم، در این ایستگاه مربوط به سال ۲۰۱۶ می‌باشد که ۸ موج گرم در این سال ثبت شده است و کم‌ترین تعداد امواج گرمایی نیز مربوط به سال‌های ۱۹۹۰ و ۱۹۹۱ بوده که در این سال ۲ موج گرم ثبت شده است.

جدول (۲). ویژگی‌های آماری تعداد امواج گرم در ایستگاه‌های شهر تهران

میانگین	مهرآباد	شمال تهران	ژئوفیزیک	دوشان تپه	چیتگر
۶	۵	۵	۵	۵	۵
۲	۱/۷	۱/۷	۱/۵	۱/۶۴	۱/۶
۰/۳۳	۰/۳۱	۰/۳۱	۰/۲۷	۰/۳۰	۰/۳۳
سال ۲۰۱۵	سالهای ۱۹۹۵، ۲۰۱۰ و ۲۰۱۶	سالهای ۲۰۱۰ و ۲۰۱۴	سالهای ۲۰۱۰ و ۲۰۱۴	سالهای ۲۰۱۰، ۲۰۱۲، ۲۰۱۵ و ۲۰۱۶	سال ۲۰۱۶
سال ۱۹۹۱	سال ۱۹۹۱	سال ۱۹۹۱	سال ۱۹۹۱	سالهای ۱۹۹۱ و ۱۹۹۲	سالهای ۱۹۹۰ و ۱۹۹۱

برای ارزیابی روند سالانه سری زمانی فراوانی رخدادهای امواج گرمایی در ایستگاه‌های شهر تهران طی دوره آماری مورد بررسی (۱۹۸۷ تا ۲۰۱۶)، از آماره برآوردگر شیب Sens استفاده شد که به صورت نمودار شکل (۲) ارائه شده است. همانطور که در این نمودار سری زمانی و روند ناپارامتریک خطی برازش داده شده بر آن مشاهده می‌گردد، براساس این روش ناپارامتریک برآوردگر شیب، در ایستگاه مهرآباد هر ساله حدود ۰/۱۶، در ایستگاه شمال تهران هر ساله حدود ۰/۱۲، در ایستگاه ژئوفیزیک هر ساله حدود ۰/۱۵، در ایستگاه دوشان تپه هر ساله حدود ۰/۱۶ و در ایستگاه چیتگر نیز هر ساله حدود ۰/۱۷ فراوانی رخدادهای امواج گرمایی افزایش یافته است.

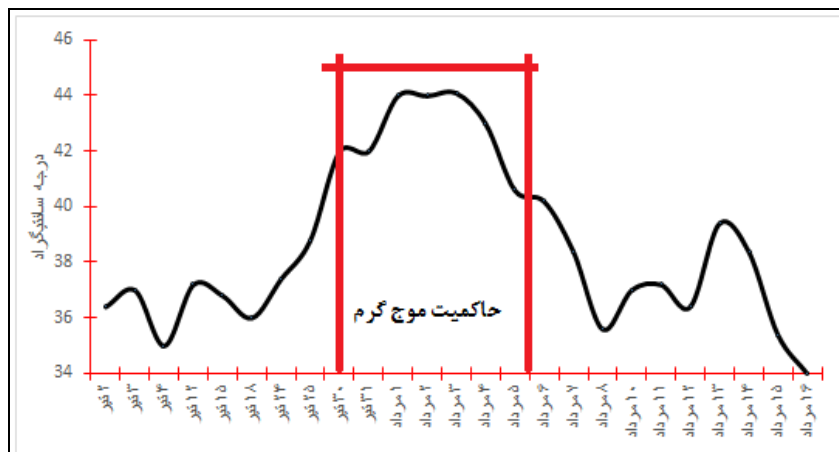




شکل (۲). فرآوانی رخدادهای موج گرم در ایستگاه‌های شهر تهران، طی دوره آماری ۱۹۸۷ تا ۲۰۱۶

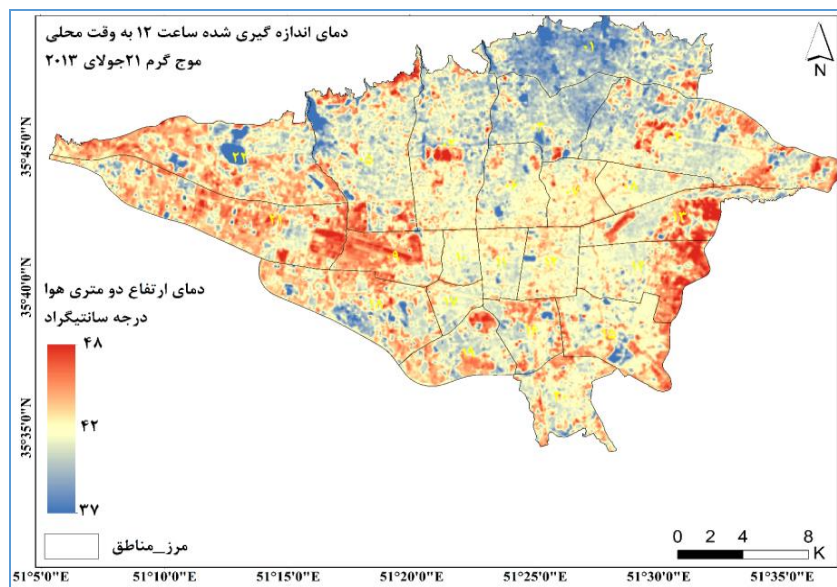
برای تحلیل توزیع فضایی تنش‌های حرارتی ناشی از موج گرم در کلان‌شهر تهران، یک نمونه موج گرم تیپیک که در همه ایستگاه‌های مورد بررسی، ثبت شده و تداوم آن در همه ایستگاه‌ها، بیش از ۳ روز بوده است انتخاب شد. این موج گرم تیپیک ۲۰ تا ۲۸ جولای ۲۰۱۳ (۳۰ تیر تا ۶ مرداد ۱۳۹۲)، در سطح ایستگاه‌های شهر تهران ثبت شده است می‌باشد. این موج گرم یکی از طولانی‌ترین و گرمترین امواج گرم ثبت شده شهر تهران بوده که در همه ایستگاه‌های سطح شهر تهران و حتی استان‌های البرز، قم و سمنان نیز ثبت شده‌اند. میانگین دمای هوای سطح شهر تهران طی حاکمیت این موج گرم بیشتر از ۴۲ درجه سانتی‌گراد بوده است. دمای دیده‌بانی شده ساعت ۱۲ به‌صورت میانگین در تیرماه به ۴۰/۵ و در مرداد ماه ۴۲/۵ درجه سانتی‌گراد رسید که در مقایسه با سال قبل بین ۱ تا ۳ درجه سانتی‌گراد در تیرماه و مرداد افزایش داشته است. میانگین دمای ساعت ۱۲ ایستگاه‌های ۵ گانه سطح شهر تهران در این روزها به ۴۴ درجه سانتی‌گراد رسیده است. شکل (۳).





شکل (۳). دمای دیدهبانی شده ساعت ۱۲ به وقت محلی، متوسط ایستگاه‌های ۵ گانه سطح شهر تهران طی دوره حاکمیت موج گرم ۳۰ تیر تا ۶ مرداد سال ۱۳۹۲

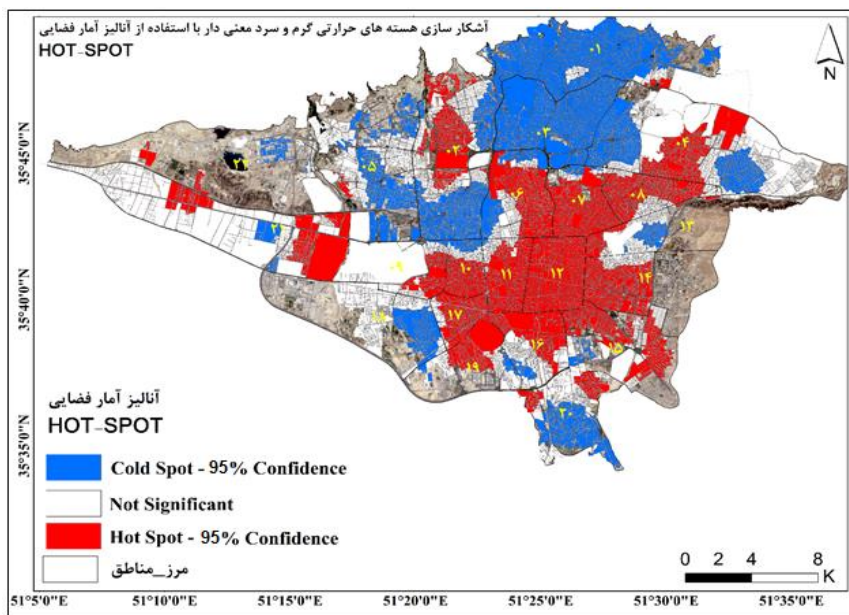
در شکل (۴) دمای سطح زمین استخراج شده از تصاویر سنجنده TIRS برای روز ۲۱ جولای ۲۰۱۳، یعنی ۳۱ مرداد ۱۳۹۲، ارائه شده است. همانطور که در نقشه شکل ۴ مشاهده می‌گردد، دامنه دمای سطح شهر تهران در ساعت ۱۲ ظهر، بین ۳۷ تا ۴۸ درجه سانتی‌گراد بوده است. مناطق غربی شهر تهران شامل منطقه ۲۲، منطقه ۲۱ که عموماً کاربری اراضی بایر و فاقد پوشش گیاهی است، دارای بالاترین دما و بیش از ۴۶ درجه سانتی‌گراد بوده است. بخش‌های از مناطق ۹ و مناطق ۱۸ و ۱۹ شهر تهران نیز، در ساعت ۱۲ روز ۳۱ مرداد ۱۳۹۲، دارای دمای بالاتر از ۴۵ درجه سانتی‌گراد بوده‌اند. در بخش‌های شرقی شهر تهران نیز بخش‌هایی از دو منطقه ۱۳ و ۱۴ شهر، دارای دماهای بالاتر از ۴۴ درجه سانتی‌گراد بوده‌اند. بخش‌های شمالی شهر تهران مناطق ۱، ۳ و بخش‌های از مناطق ۲ و ۴ شهر تهران در این ساعت دارای دمایی برابر ۴۱ تا ۴۲ درجه سانتی-گراد بوده‌اند.



شکل (۴). تصویر دمای سطح شهر تهران در ساعت ۱۲ روز دوم حاکمیت موج گرم روز ۲۱ جولای ۲۰۱۳ (۳۱ مرداد ۱۳۹۲) استخراج شده از باند ۱۰ و ۱۱ سنجنده TIRS ماهواره لندست ۸

برای بررسی جمعیت سطح شهر تهران از نقشه های توزیع فضایی بلوک های جمعیتی سطح شهر تهران مربوط به سرشماری سال ۱۳۹۵، سازمان آمار ایران استفاده گردید براساس این داده ها، جمعیت پایتخت ۸ میلیون و ۶۷۹ هزار و ۹۵۰ نفر است که از این جمعیت ۴ میلیون ۳۶۴ هزار و ۷۵۴ نفر را زنان و ۴ میلیون و ۳۱۵ هزار و ۲۰۵ نفر را مردان تشکیل می دهند پرجمعیت ترین منطقه تهران و منطقه ۲۲ با جمعیت ۱۷۵۳۹۸ نفر کم جمعیت ترین منطقه تهران بوده اند. توزیع طبقه سنی کودکان زیر ۱۰ سال در همه مناطق مختلف شهر تهران وجود دارد. اما مناطق ۹، و ۲۱ بیشترین فراوانی بلوک های با جمعیت بالای کودکان زیر ۱۰ سال را داشته اند. نتایج حاصل از اجرای تحلیل آمار فضایی لکه های داغ HOT-SPOT، در شکل (۵) ارائه شده است. همانطور که در این نقشه دیده می شود، هسته های بحرانی حرارتی که در سطح اطمینان ۰/۹۵ (P\_value = 0.05)، به صورت معنی داری از مناطق اطراف گرمتر بوده اند، آشکار شده است. هسته های بحرانی داغ، در روز های حاکمیت موج گرم در ساعت ۱۲، عموماً مناطق ۶، ۷، ۸، ۱۱، ۱۰، ۱۲، ۱۴، ۱۵، ۴، ۷، و ۱۹ را به صورت معنی داری درگیر کرده است. شدت تنش گرمایی موج گرم در این مناطق به صورت معنی داری بالا بوده است. میانگین دمایی این هسته داغ حرارتی به طور متوسط در طی دو موج گرم، به بیش از ۴۳ درجه سانتیگراد رسیده است. بخش های محدودی از منطقه ۲ و نیز منطقه ۲۱ شهر تهران نیز در این هسته داغ حرارتی قرار گرفته است این هسته داغ حرارتی در سطح شهر تهران که در ساعت ۱۲ روز های حاکمیت موج گرم، میانگین فضایی دمای آن به بیش از ۴۳ درجه سانتیگراد با ضریب تغییرات فضایی ۱/۲ درجه سانتیگراد، مساحتی در حدود ۱۲۸ کیلومتر مربع که برابر ۲۵ درصد از مساحت کل بلوک های آماری شهر تهران است را در بر گرفته است. بخش هایی وسیعی نیز از بلوک های جمعیتی شهر تهران همانطور که در شکل (۵) دیده می شود، از

لحاظ آماری، براساس تحلیل آمار فضایی HOT-SPOT معنی دار نبوده اند. این بخش ها، که عموماً شامل منطقه ۲۱ و منطقه ۴ و منطقه ۹ و ۱۶ بخش هایی از مناطق ۱۳ و ۱۴ و ۵ و نیز بخش هایی از منطقه ۲ را در بر گرفته است، تنش حرارتی به صورت معنی داری بالا نبوده است که تشکیل یک هسته حرارتی داغ را در سطح اطمینان ۰/۹۵ ( $P\_value = 0.05$ ) بدهد.



شکل (۵). آشکار سازی هسته های داغ حرارتی در روزهای حاکمیت موج گرم (میانگین دو موج گرم مورد بررسی) در بلوک های جمعیتی سطح شهر تهران با استفاده از آنالیز آمار فضایی HOT-SPOT

توزیع فضایی جمعیت شهر تهران در ارتباط با توزیع دمای سطح شهر تهران در هنگام حاکمیت موج گرم توزیع جمعیت شهر تهران در هسته های حرارتی شهر تهران که براساس آنالیز HOT-SPOT، استخراج شده است، ارائه گردیده است. این جدول با استفاده از آنالیز ماتریس متقاطع در نرم افزار ARC\_GIS، تهیه شده است. در این هسته داغ حرارتی که به صورت معنی داری دمای آن حین رخداد موج گرم بالا می رود، به طور کلی ۲۹۵۴۴۸۵ نفر از جمعیت شهر تهران که برابر ۳۵ درصد از جمعیت شهر تهران قرار گرفته است. در این هسته داغ حرارتی تعداد ۱۳۰۰۰ بلوک آماری که برابر ۴۰ درصد از کل بلوک های جمعیتی شهر تهران است، قرار دارد. جدول (۴).

جدول (۴). آنالیز ماتریس متقاطع<sup>۱</sup> هسته حرارتی آشکارشده شهر تهران در هنگام حاکمیت موج گرم در سطح شهر و جمعیت و رده های سنی آسیب پذیر در برابر تنش های حرارتی موج گرم سطح شهر تهران

طبقات دمایی	نفر
جمعیت کل	۲۹۵۴۴۸۵
کهنسالان بالای ۶۵ سال	۳۵۲۷۵۰
کودکان زیر ۱۰ سال	۹۱۲۸۹۰
تعداد بلوک های جمعیتی	۱۳۴۱۰ بلوک آماری

در هسته داغ آشکارشده شهر تهران در هنگام حاکمیت موج گرم، تعداد ۳۵۲۷۵۰ کهنسال بالای ۶۵ سال اعم از زن و مرد وجود دارند. این تعداد کهنسال، برابر ۰/۴۱ از کل جمعیت این رده سنی می باشد. تنش های حرارتی می تواند به صورت چشم گیری یک ریسک عمده برای سلامتی این رده سنی به حساب آید تعداد ۹۱۲۸۹۰ کودک زیر ۱۰ سال اعم از کودکان دختر و پسر در بلوک های جمعیتی واقع شده در هسته داغ حرارتی شهر تهران هنگام حاکمیت موج گرم، قرار گرفته است. این تعداد کودکان زیر ۱۰ سال، برابر ۶۰ درصد از کل کودکان شهر تهران است. جدول (۴).

### بحث و نتیجه گیری

در پژوهش پیش رو مخاطره بیوکلیمایی رخدادهای موج گرم در شهر تهران بررسی شد. تنش های حرارتی تابستانه ناشی از موج گرم، در شهر تهران، هر ساله در تابستان باعث ظهور و تشدید بسیاری از بیماری های ناشی از تنش گرمزدگی<sup>۲</sup> می شود. بررسی پیشینه پژوهش نشان دهنده آن است که تاکنون در پژوهش های داخل کشور گرمزدگی ها و تنش های حرارتی مرتبط با امواج گرم در محیط های شهری و جمعیت در معرض مخاطره گرمزدگی های حاد، بررسی نشده است اما با نگاهی دقیق تر به موضوع، دو نکته بسیار مهم آشکار می شود: از یک طرف پژوهش های متعدد جهانی و داخلی نشان داده اند که در راستای رخداد گرمایش جهانی، افزون بر میانگین عمومی دما، تعداد رخداد های حدی دمایی از قبیل امواج گرم و سرد در سه دهه اخیر روند افزایشی داشته است (حاتمی زرنه و همکاران، ۱۳۹۸؛ مولودی و همکاران، ۱۳۹۵؛ لمنسو و همکاران، ۲۰۱۵؛ استرا و باندلا، ۲۰۱۷). از طرف دیگر، روزبه روز تعداد و تراکم جمعیتی و مسکونی شهرها روند افزایشی خواهد داشت؛ بنابراین از یک سو با افزایش فراوانی رخداد حدی موج گرم و ازدیگرسو با افزایش جمعیت شهری و افزایش تراکم مسکونی شهر، انتظار می رود اثر هم افزای این دو عامل اقلیمی و انسانی، تأثیرات مخرب موج گرم نیز در محیط شهری افزایش یابد که پژوهش های بسیاری این روند را به صورت عینی در نواحی مختلف جهان اثبات کرده اند؛ براساس آمار جمعیتی مناطق تهران، در سال ۱۳۹۵، منطقه ۴ تهران با جمعیت بالغ بر ۹۱۷ هزار و ۲۶۱ نفر، پرجمعیت ترین منطقه تهران و منطقه ۲۲ با جمعیت ۱۷۵۳۹۸ نفر کم جمعیت ترین منطقه تهران بوده اند. در این پژوهش نتایج نشان داد طی ۳ دهه اخیر (۱۹۸۷-۲۰۱۶) رخداد های حدی موج گرم در شهر تهران روند

<sup>۱</sup> Tabulate Intersection

<sup>۲</sup> Hypothermia

افزایشی داشته است. هسته های بحرانی داغ، در روز های حاکمیت موج گرم در ساعت ۱۲، عموماً مناطق ۶، ۷، ۸، ۱۱، ۱۰، ۱۲، ۱۴، ۱۵، ۴، ۷ و ۱۹ را به صورت معنی داری درگیر کرده است. میانگین دمایی این هسته داغ حرارتی به طور متوسط در طی دو موج گرم، به بیش از ۴۳ درجه سانتیگراد رسیده است. بخش های محدودی از منطقه ۲ و نیز منطقه ۲۱ شهر تهران نیز در این هسته داغ حرارتی قرار گرفته است این هسته داغ حرارتی در سطح شهر تهران که در ساعت ۱۲ روز های حاکمیت موج گرم، میانگین فضایی دمای آن به بیش از ۴۳ درجه سانتیگراد با ضریب تغییرات فضایی ۱/۲ درجه سانتیگراد، مساحتی در حدود ۱۲۸ کیلومتر مربع که برابر ۲۵ درصد از مساحت کل بلوک های آماری شهر تهران است را در بر گرفته است همچنین بیش از ۴۰ درصد از کل جمعیت کهنسال شهر تهران در محدوده حاکمیت هسته داغ حرارتی هنگام حاکمیت موج گرم قرار گرفته است. می توان این ارتباط بین بالا بودن میانگین دمای هوا در نواحی با تراکم بالای جمعیت را با توزیع ساختار و بافت شهری تبیین کرد، هرتل و همکاران (۲۰۰۹) و آسترا و باندلا (۲۰۱۷)، این رابطه را در پژوهش خود این گونه توجیه کرده اند: تمرکز جمعیت، افزایش تراکم مسکونی در نواحی مرکزی شهر، ترافیک شهری و جمعیت بالا، تمرکز فعالیت های گرمایزا در بخش های مرکزی شهر را به همراه خواهد داشت. با توجه به روند رو به افزایش رخدادهای موج گرم ناشی از گرمایش جهانی انتظار می رود که در آینده بسیار نزدیک مشکلات مربوط به تأثیرات منفی موج گرم در سطح شهر به شدت تشدید شده و در بخش های اورژانس بیمارستان های شهر، به وضوح شاهد مراجعان مرتبط با گرمزدگی و تنش های گرمایی باشیم.

مخاطره بیوکلیمایی موج گرم یکی از مخاطرات نوظهور اقلیمی است که در سال های اخیر روند افزایشی قابل توجهی در فراوانی این رخدادهای حدی وجود دارد. در این تحقیق نیز مشاهده شد که در همه ایستگاه های شهر تهران فراوانی رخدادهای حدی گرم روند افزایشی داشته است. تنش های حرارتی ناشی از رخداد یک موج گرم تبیین در سطح شهر تهران، میتواند دمای لحظه ای سطح زمین را در شهر تهران به بیش از ۴۷ درجه سانتیگراد برساند که این آستانه دمایی یک مخاطره بالقوه برای رده های سنی آسیب پذیر در برابر گرمزدگی و تنش های گرمایی به شمار میرود. در این تحقیق مشاهده گردید که در زمان حاکمیت موج گرم، هسته های بحرانی حرارتی در مناطق ۶، ۷، ۸، ۱۱، ۱۰، ۱۲، ۱۴، ۱۵، ۴، ۷ و ۱۹ شهر تهران شکل شده که این عرصه های بحرانی حرارتی، بیش از ۴۰ درصد از کل جمعیت کهنسال شهر تهران را در بر گرفته است.

## منابع

- تاریخچه تهران، (۱۳۸۷). موسسه جغرافیایی و کارتوگرافی گیتاشناسی.
- حدادی، حسین (۱۳۸۸). تحلیل زمانی و مکانی امواج گرما در ایران. پایان نامه کارشناسی ارشد اقلیم شناسی در برنامه ریزی محیطی، دانشکده علوم انسانی و اجتماعی، گروه جغرافیا، دانشگاه تربیت مدرس.
- رحیمی، داریوش؛ میرهاشمی، حمید؛ علیزاده، تیمور (۱۳۹۶). بررسی تحلیل ساختار امواج گرمایی در غرب و جنوب غرب ایران. جغرافیا و برنامه ریزی محیطی، ۲۸(۳): ۲۳-۴۵.

قویدل رحیمی، یوسف؛ رضایی، محمد. (۱۳۹۴). جستاری پیرامون شناسایی، طبقه بندی و تحلیل سینوپتیک امواج گرمایی استان تهران. جغرافیا و برنامه ریزی، ۱۹ (۵۴)، ۲۵۳-۲۷۷.

مجرد، فیروز؛ معصوم پور، جعفر؛ رستمی، طیبه (۱۳۹۴). تحلیل آماری همبندی امواج گرم بالای ۴۰ درجه سانتی گراد، در غرب ایران. جغرافیا و مخاطرات محیطی، ۱۳ (۱)، ۴۷-۵۱.

Austria P. F., Bandala, E. R. (2017). **Temperature and heat-related mortality trends in the Sonoran and Mojave desert region**. Atmosphere, 8 (53), 1-13.

Choobin, B., Malekian, A. (2013). **Relationship between Fluctuations in the Water and Aquifer Salinization (Case Study: Aquifer Aspas Fars Province)**. Journal of Desert Managemen, 1, 13-2.-

Griffith, D. A. (2003). **Spatial Autocorrelation and Spatial Filtering: Gaining Understanding through Theory and Scientific Visu-alization**, Advances in Spatial Science, Springer, 247.

Intergovernmental Panel on Climate Change (2014). **Climate Change 2014: Impacts, Adaptation and Vulnerability. Working group II contribution to the IPCC fifth assessment report**, Cambridge, United Kingdom: Cambridge University Press. www.ipcc.ch/report/ar5/wg2.

Madrigano, J., Ito, K., Johnson, S., Kinney, P. L., Matte, T. (2015). **A case-only study of vulnerability to heat wave-related mortality in New York city (2000-2011)**. Environ Health Perspect, 123 (7), 672-678.

Sen, P. K. (1968). **Estimates of the regression coefficients based on Kendall's tau**. Journal of the American Statistical Association, 63: 1379-1389.

Tonglin, Z., Lin, Ge. (2007). **A decomposition of Moran's I for clustering detection**, Computational statistics and data analysis, 51.

Wang, ZB, Fang, CL. (2016). **Spatial-temporal characteristics and determinants of PM 2.5 in the Bohai Rim Urban Agglomeration**. Chemosphere; 148:148-62.